УДК 620.179.14

## РАСЧЕТ НАМАГНИЧЕННОСТИ ПО ГЛУБИНЕ ЖЕЛЕЗНОДОРОЖНОГО РЕЛЬСА, СОЗДАВАЕМОЙ ПОСТОЯННЫМ МАГНИТОМ

## Н. В. КРЕМЕНЬКОВА, В. И. ШАРАНДО Государственное научное учреждение «ИНСТИТУТ ПРИКЛАДНОЙ ФИЗИКИ НАН Беларуси» Минск, Беларусь

Система сигнализации на железной дороге требует электрической изоляции отдельных участков рельсов друг от друга. Практика эксплуатации железных дорог показывает, что условия изоляции часто нарушаются за счет образования "мостиков" из ферромагнитных частиц, налипающих на концы Образование таких "мостиков" обусловлено рельсов стыках. намагниченностью рельсов в области изолирующего стыка. Стык становится проводящим, что воспринимается подходящим к стыку поездом как занятость пути другим составом. В связи с этим задача создания устройств важной для рельсов является очень безопасной размагничивания эксплуатации Эффективность железных дорог. размагничивания распределения определяется характером величиной И намагниченности в области стыка и параметрами размагничивающей системы.

распределения Для расчета намагниченности ПО глубине железнодорожного рельса в области стыка была создана компьютерная модель в виде внедренных в оболочку программы COMSOL MULTIPYSICS 3d модели рельса и намагничивающего устройства в виде П – образного магнита (два магнитных блока, замкнутые полосой из мягкого ферромагнетика толщиной 1 см), установленного полюсами на края зазора. В созданную компьютерную модель вводились кривая намагничивания для рельсовой стали и остаточная намагниченность материала постоянных магнитов. В качестве материала для постоянных магнитов выбран неодимжелезо-бор NdFeB, его остаточная намагниченность M<sub>r</sub>=950 000 A/м. Высота рельса составляла 19 см, высота и ширина головки соответственно 5,53 см и 7,5 см, высота и ширина пяты соответственно 3,23 см и 15 см. Ширина центральной части рельса 2 см. Рассматривались варианты с шириной стыка 8 и 15 мм.

Выполнены расчеты для разных расстояний d между полюсами, при этом рассмотрено два случая с одинаковым количеством магнитожесткого материала в магнитных блоках и различающейся в два раза площадью полюсов (4×8 см с меньшей стороной вдоль рельса при высоте блока 4 см и 8×8 см при высоте блока 2 см). Рассчитывалось распределение модуля и составляющих намагниченности. Показано, что при увеличении площади магнитных полюсов создаваемая в рельсе намагниченность увеличивается, сохраняя характер распределения. Для трех расстояний d между полюсами магнита размерами 4×8 см проведены расчеты распределения модуля намагниченности по глубине рельса на расстояниях х от центра стыка 5 мм,

10 мм и 20 мм при ширине стыка 8 мм. Результаты расчетов для x = 5 мм представлены на рис.1. Начало системы координат находится в плоскости поверхности катания рельса в точке пересечения его центральных плоскостей симметрии, x - вдоль рельса, z - перпендикулярно поверхности катания. При уменьшении d намагниченность, создаваемая системой, увеличивается, сохраняя характер распределения. В распределении по глубине модуля М наблюдается два экстремума: локальный минимум вблизи поверхности рельса, который смещается по z при удалении от стыка, и максимум на расстоянии около 6 см, что соответствует положению нижней поверхности головки рельса. На рис. представлено распределение модуля намагниченности по глубине рельса при расстоянии между полюсами магнитов d = 5 мм для разных расстояний x от центра стыка. Из зависимостей следует, что при удалении от стыка наблюдается рост намагниченности, обусловленный приближением к центру полюса магнита.

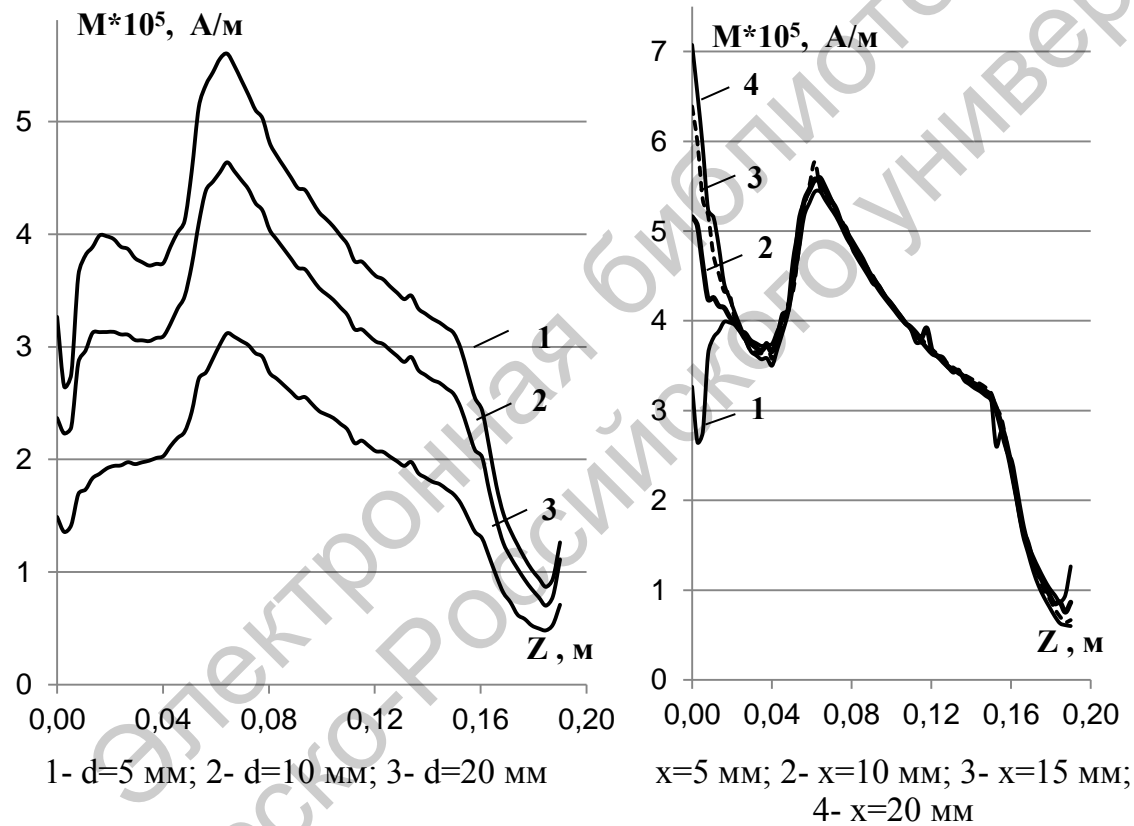


Рис. 1. Распределение модуля намагниченности М по глубине рельса на расстоянии 5 мм от центра стыка для разных расстояний d между полюсами магнитов

Рис. 2. Распределение модуля намагниченности М по глубине рельса при расстоянии между полюсами магнитов d= 5 мм для разных расстояний х от центра стыка

Полученные результаты могут быть использованы при проектировании систем размагничивания стыков рельсов.